



Uma relação entre b-coloração e teoria espectral em cografos

Átila Arueira Jones

Universidade Federal Fluminense / Instituto Federal Sudeste de Minas Gerais
Niterói - RJ / Juiz de Fora - MG
atila.jones@id.uff.br

Fábio Protti

Universidade Federal Fluminense
Niterói - RJ
fabio@ic.uff.br

Renata Raposo Del-Vecchio

Universidade Federal Fluminense
Niterói - RJ
renata@vm.uff.br

RESUMO

Nesse trabalho sugerimos uma nova cota para o número b-cromático de um cografo conexo, dada em termos do índice do grafo (maior autovalor da matriz de adjacência). Para estabelecer a conjectura, usamos um algoritmo gerador de cografos para verificar que a cota funciona.

PALAVRAS CHAVE. Cografos, b-coloração, Teoria Espectral de Grafos.

Área principal. Teoria e Algoritmos em Grafos (TAG)

ABSTRACT

In this work we suggest a new upper bound for the b-chromatic number of a connected cograph, is given in terms of the index of the graph (the largest eigenvalue of its adjacency matrix). To provide a conjecture, we use the cograph generation algorithm to verify that this bound works.

KEYWORDS. Cographs, b-coloring, Spectral Graph Theory.

Main area. Theory and Algorithms in Graphs (TAG)



1. Introdução

Uma variação do problema de coloração é a **b-coloração** de um grafo, que consiste numa coloração própria onde cada cor deve possuir ao menos um vértice dominante associado, isto é, adjacente a pelo menos um vértice de cada uma das outras cores. O número b-cromático foi introduzido em Irving e Manlove [1999] definido como o maior número de cores tal que o grafo admite uma b-coloração, e é denotado por $\chi_b(G)$. Foi provado que determinar $\chi_b(G)$ é NP-difícil para um grafo qualquer, então é natural a busca de cotas para o número b-cromático de um grafo, como em Alkhateeb e Kohl [2011] e Kouider e Mahéo [2002].

Encontrar cotas para o número cromático envolvendo outros parâmetros já desperta interesse há mais de 40 anos, inclusive envolvendo o índice do grafo. A saber, dado um grafo $G(V, E)$ podemos associá-lo a uma matriz; neste caso trabalharemos com a matriz de adjacência definida como uma matriz de ordem $|V|$ onde cada entrada vale 1 caso os vértices correspondentes sejam adjacentes, e 0 caso contrário. A matriz de adjacência é simétrica e, portanto, sempre admite autovalores reais, que por sua vez são definidos como autovalores do grafo G ; o maior deles é chamado índice do grafo e denotado por $\lambda(G)$, também conhecido como raio espectral. A teoria espectral de grafos consiste no estudo de autovalores de matrizes associadas a grafos.

Algumas cotas para o número cromático envolvendo o índice de um grafo podem ser encontradas em Cvetkovic [1972]. Quanto ao número b-cromático, não se vê na literatura nenhuma cota relacionada com tal parâmetro, o que define o objetivo deste trabalho.

Neste trabalho propomos uma desigualdade entre índice do grafo e o número b-cromático para cografos conexos. A saber, os cografos são conhecidos por grafos livres de P_4 . Para verificar a validade da relação proposta, usamos o algoritmo construído em Jones et al. [2016], capaz de gerar todos os cografos não isomorfos dois a dois com n vértices, cujo atraso é $O(n)$.

Inicialmente faremos uma breve introdução com os resultados necessários para compreensão da desigualdade estimada. Em seguida descreveremos os algoritmos usados na implementação, detalharemos a execução dos testes aplicados e os resultados obtidos.

2. Resultados preliminares

Um dos temas clássicos da teoria de grafos é o problema de coloração de vértices e suas variações. Formalmente uma **k-coloração** de um grafo $G(V, E)$ nada mais é que uma função sobrejetiva $c : V(G) \rightarrow \{1, \dots, k\}$ e a **classe da cor** i é o conjunto $C_i = \{v \in V(G); c(v) = i\}$, onde os valores $1, \dots, k$ são chamados cores. A restrição mais natural a ser imposta é usar k cores de forma que vértices adjacentes tenham cores distintas, chamada de **k-coloração própria**, o que é resolvido facilmente atribuindo uma cor para cada vértice. Mas o problema de fato é obter a solução ótima, ou seja, o menor número de cores com essa propriedade, chamado **número cromático** do grafo, denotado por $\chi(G)$. Irving e Manlove (Irving e Manlove [1999]) introduziram uma variação do problema: a b-coloração.

Dado um grafo G colorido com k cores, dizemos que um vértice é **b-dominante** se é adjacente a pelo menos um vértice de cada uma das outras $k - 1$ cores. Uma **b-coloração** é uma coloração onde cada classe de cor possui ao menos um vértice b-dominante. Formalmente:

Definição 2.1. *Uma b-coloração é uma k-coloração tal que $\forall i \in \{1, \dots, k\}, \exists u \in C_i$ (b-dominante) tal que $\forall j \in \{1, \dots, k\} \setminus \{i\}, \exists v \in C_j$ com $uv \in E(G)$. O número b-cromático, denotado por $\chi_b(G)$, é o maior k onde o grafo admite uma b-coloração com k cores.*

Exemplo 2.1. *Na Figura 1 temos o grafo G à esquerda com uma 3-coloração e à direita G b-colorado com 4 cores (b-dominantes em destaque). Neste exemplo é fácil ver que $\chi(G) = 3$ e $\chi_b(G) = 4$.*

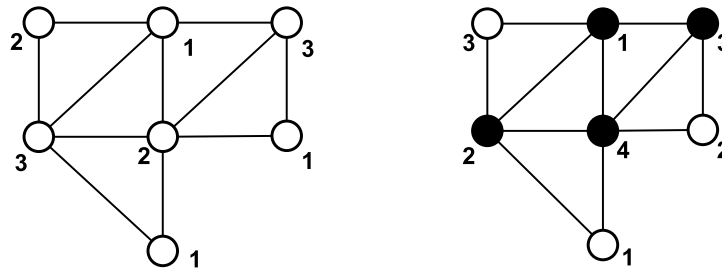


Figura 1: Exemplo número cromático e b-cromático

Irving e Manlove introduzem também o conceito de **m-grau** de um grafo G , denotado por $m(G)$, como o maior inteiro m tal que o grafo possua m vértices de grau maior ou igual a $m - 1$. Isto é, ao ordenar os graus dos vértices em $d(v_1) \geq \dots \geq d(v_n)$ definimos $m(G) = \max\{i; d(v_i) \geq i - 1, 1 \leq i \leq n\}$. No exemplo anterior temos $m(G) = 4$.

Proposição 2.1. Irving e Manlove [1999] Para todo grafo G vale $\chi(G) \leq \chi_b(G) \leq m(G)$.

Demonstração. De fato se $\chi_b(G) = k$, então existem pelo menos k vértices b-dominantes em G , onde cada um tem grau pelo menos $k - 1$, donde segue a segunda desigualdade. Para a primeira basta observar que $\chi(G)$ é o menor número de cores tal que grafo admite coloração própria. \square

A classe de grafos que será tratada neste trabalho é a dos cografos, descoberta independentemente por diversos autores desde 1970. Os cografos são usualmente definidos como grafos livres de P_4 , segundo equivalência provada em [Corneil et al., 1981]. Mas sua definição original é apresentada em forma recursiva: o grafo trivial é cografo, o complementar de cografo é cografo, a união de cografos é cografo.

Vale lembrar que o **join** entre dois grafos $G_1(V_1, E_1)$ e $G_2(V_2, E_2)$ é o grafo $G_1 \vee G_2$ cujo conjunto de vértices é $V_1 \cup V_2$ e arestas $E_1 \cup E_2 \cup \{xy; x \in E_1 \text{ e } y \in E_2\}$; tal operação também é chamada de **união complementar**, pois vale $\overline{G_1 \cup G_2} = \overline{G_1} \vee \overline{G_2}$. Então um cografo pode ser obtido por sucessivas operações de *join* e *união* entre cografos. Tal recurso foi utilizado em [Corneil et al., 1984] para introduzir a representação de cografo através de uma árvore, chamada **coárvore**, cujas folhas são os vértices do grafo e os vértices internos possuem ao menos dois filhos e representam operações de *join* ou *união*, rotulados por *tipo-1* e *tipo-0*, respectivamente. Além disso a coárvore deve ser escrita de forma que os vértices que compõem um caminho possuem seus tipos alternados, o que garante que cada cografo tenha somente uma coárvore associada, a menos de permutação entre vértices; por outro lado temos que cada coárvore é referente a um único cografo.

Como os cografos são identificados por árvores, vamos fixar algumas notações acerca de uma árvore enraizada T : a raiz será denotada por $raiz(T)$; dado um vértice v (diferente da raiz) denotamos P_v o único caminho de v até a raiz; os vértices de P_v (exceto v) são ditos **ancestrais** de v em T , onde o antecessor imediato de v em P_v é chamado **pai** de v e denotado por $pai_T(v)$; fixamos $pai_T(raiz(T)) = \text{null}$; para cada vértice interno v definimos seus **filhos** pelo conjunto $filhos_T(v) = \{u \in V(T); pai_T(u) = v\}$ e a **irmandade de v** por $I_T(v) = \{filhos_T(pai_T(v))\}$, para $v \neq raiz(T)$, fixando $I_T(raiz(T)) = \{raiz(T)\}$; denotaremos por $T(v)$ a subárvore induzida por T cuja raiz é v . Em casos livres de ambiguidade ocultaremos o índice T das notações acima. Além disso denotaremos o isomorfismo entre dois grafos G_1 e G_2 por $G_1 \equiv G_2$.

3. A desigualdade proposta

O estudo de cotas envolvendo o número cromático de um grafo e o seu índice desperta interesse há mais de 40 anos, como pode ser visto em Cvetković e Rowlinson [1990]. Em particular Wilf provou o seguinte teorema:

Teorema 3.1. Wilf [1967] Todo grafo G satisfaz $\chi(G) \leq \lambda(G) + 1$, onde $\lambda(G)$ é o maior autovalor da matriz de adjacência de G .



Em relação ao número b-cromático também já existem resultados envolvendo cotas, como em Alkhateeb e Kohl [2011], mas ainda não há estudos sobre cotas envolvendo os autovalores de um grafo.

Para grafos em geral determinar o parâmetro $\chi_b(G)$ é NP-difícil, como provado por Irving e Manlove [1999]. Contudo os cografos apresentam bom comportamento diante deste problema, uma vez que $\chi_b(G)$ pode ser obtido em tempo polinomial para um cografo G , provado em Bonomo et al. [2009]. Motivado por essa estreita relação e a desigualdade apresentada pelo teorema anterior levantamos a seguinte questão:

$$\text{Todo cografo conexo } G \text{ satisfaz } \chi_b(G) \leq \lambda(G) + 1. \quad (*_1)$$

A questão acima sugere uma desigualdade razoável, já que a igualdade é atingida para grafos completos, pois são cografos e satisfazem $\lambda(K_n) = n - 1$ e $\chi_b(K_n) = n$. Em contrapartida, observe que para 4 cópias da estrela S_3 , temos $\lambda(4S_3) = \sqrt{3}$ e $\chi_b(4S_3) = 4$, donde $\chi_b > \lambda + 1$, o que justifica a inclusão da hipótese de conexidade sobre a questão envolvida.

4. Algoritmos implementados

A fim de verificar a existência de contra-exemplos para a afirmação $(*_1)$, efetuamos testes computacionais fazendo uma busca nos cografos conexos, fazendo uso do algoritmo gerador de cografos desenvolvido em Jones et al. [2016]. Nas subseções seguintes detalharemos a estrutura de dados utilizada, bem como descreveremos os algoritmos implementados.

4.1. Estrutura de dados do cografo

Como todo cografo é representado por uma árvore e os parâmetros que desejamos podem ser obtidos diretamente da árvore, é natural representarmos o cografo através da mesma, que por sua vez será implementada através de listas encadeadas de vértices, cuja estrutura básica é descrita abaixo.

Algorithm 4.1 Estrutura do Vértice

```
1: procedure Vertice
2:   Vertice Pai;
3:   Vetor < Vertice > Filhos;
4:   double Diag;
5:   integer FolhasInduzidas;
6:   integer label;                                ▷ Nó interno: 0, 1. Folha: 2
7:   integer Cromatico;
8:   integer Nivel;
9:   integer Grau;
10: end function
```

Dada uma árvore T e um vértice estruturado como acima, detalhamos abaixo a função de cada campo.

- vértice *Pai* armazenará $pai(v)$;
- Vetor *Filhos* armazenará $Filhos(v)$;
- escalar *Diag* será visto posteriormente, cuja utilidade é obtenção de estimativa para o $\lambda(G)$;
- inteiro *FolhasInduzidas* armazena o número de folhas induzidas por $T(v)$;
- inteiro *label* armazena se o vértice é interno (*tipo-1* ou *tipo-0*) ou uma folha (denotado por *tipo-2*)
- inteiro *Cromatico* armazena o número cromático do cografo cuja coárvore é $T(v)$, será visto em detalhes na seção seguinte.



- inteiro *Nivel* armazena o valor $nivel(v)$;
- inteiro *Grau* armazena o grau do vértice v no cografo referente a T .

A árvore é acessada através de seu vértice raiz, que permite operar e obter informações de toda a árvore.

O acesso a qualquer campo da estrutura vértice será denotado por “.”. Por exemplo ao acessar o *label* de um vértice v , usaremos a notação $v.label$.

O preenchimento do campo *FolhasInduzidas* pode ser feito de forma recursiva com procedimento iniciado nas folhas da árvore. O campo *nivel* é a aplicação direta da definição, ou seja, a raiz tem nível 1 e a cada novo vértice v instanciado, atribuímos $v.nivel \leftarrow v.pai.nivel + 1$.

A seguir detalhamos o preenchimento do campo *Grau*. Observe que não nos referimos ao grau do vértice na árvore, mas sim no vértice correspondente no cografo associado a esta árvore; portanto este campo só faz sentido nas folhas da árvore, para os demais vértices o campo é útil no procedimento.

Algorithm 4.2 Calcula o grau (cografo) de cada vértice

Input: Vértice v de uma coárvore T

Output: Calcula o grau de cada vértice na subárvore $T(v)$

```
1: procedure CalculaGrau( $v$ )
2:   if  $v.label = 1$  then
3:     for all  $w \in v.Filhos$  do
4:        $aux \leftarrow \sum_{x \in I(w) \setminus \{w\}} x.FolhasInduzidas$ 
5:        $w.Grau \leftarrow v.Grau + aux$ 
6:       CalculaGrau( $w$ )
7:     end for
8:   else
9:     if  $v.label = 0$  then
10:      for all  $w \in v.Filhos$  do
11:         $w.Grau \leftarrow v.Grau$ 
12:        CalculaGrau( $w$ )
13:      end for
14:    end if
15:  end if
16: end function
```

Omitiremos mais detalhes sobre o preenchimento dos demais campos, pois fogem do objetivo do presente texto. Daqui em diante assumiremos que todo vértice já possui seus campos *FolhasInduzidas*, *Nivel*, *Pai*, *Filhos*, *label* e *Grau* devidamente preenchidos.

4.2. Cálculo do número b-cromático

Em Bonomo et al. [2009] é provado que o cálculo de $\chi_b(G)$ é polinomial para cografos. Usaremos a estratégia proposta no artigo para obter o número b-cromático de forma eficiente. Antes de descrevermos o procedimento, é necessário introduzir o conceito de vetor b-dominante.

Definição 4.1. Bonomo et al. [2009] Dado um grafo G , o vetor b -dominante dom_G é um vetor onde para cada t , $\chi(G) \leq t \leq |V(G)|$, a entrada $dom_G[t]$ é o maior número de classes de cores que possuem vértice b -dominante dentre qualquer coloração própria de G com t cores. Para valores de t fora da intervalo, observe que $dom_G[t] = 0$ para $t > |V(G)|$ e $dom_G[t]$ não faz sentido para valores $t < \chi(G)$.



Exemplo 4.1. O vetor b -dominante do grafo abaixo é $(3, 3, 2, 0)$, onde $\chi(G) = 3$.

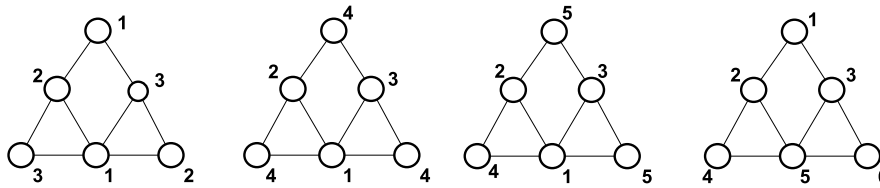


Figura 2: Grafo colorido com 3,4,5 e 6 cores, nesta ordem.

Observe que o número b -cromático de um grafo G é o maior inteiro k onde $dom_G[k] = k$. Para o cálculo do número b -cromático em cografos, nos apoiamos nos teoremas desenvolvidos no artigo, a saber:

Teorema 4.1. Bonomo et al. [2009] Sejam $G_1(V_1, E_1)$ e $G_2(V_2, E_2)$ dois grafos tais que $V_1 \cap V_2 = \emptyset$. Se $G = G_1 \cup G_2$ e $t \geq \chi(G)$, então

$$dom_G[t] = \min\{t, dom_{G_1}[t] + dom_{G_2}[t]\}$$

Teorema 4.2. Bonomo et al. [2009] Sejam $G_1(V_1, E_1)$ e $G_2(V_2, E_2)$ grafos tais que $V_1 \cap V_2 = \emptyset$. Sejam $G = G_1 \vee G_2$ e $\chi(G) \leq t \leq |V(G)|$ e considere ainda $a = \max\{\chi(G_1), t - |V_2|\}$ e $b = \{|V_1|, t - \chi(G_2)\}$. Então $a \leq b$ e

$$dom_G[t] = \max\{dom_{G_1}[j] + dom_{G_2}[t - j]; a \leq j \leq b\}$$

Observando o enunciado dos Teoremas 4.1 e 4.2 vemos que é necessário calcular inicialmente o número cromático de cografos, onde nos apoiamos no teorema de Corneil et al:

Teorema 4.3. Corneil et al. [1984] Se G é o grafo trivial, então $\chi(G) = 1$. Sejam $G_1(V_1, E_1)$ e $G_2(V_2, E_2)$ dois grafos tais que $V_1 \cap V_2 = \emptyset$. Então $\chi(G_1 \cup G_2) = \max\{\chi(G_1), \chi(G_2)\}$ e $\chi(G_1 \vee G_2) = \chi(G_1) + \chi(G_2)$

Os Teoremas 4.3, 4.2 e 4.1 deixam claro como calcular o número cromático e o vetor b -dominante em cada vértice da árvore, e conseqüentemente obter o número b -cromático de um cografo. Tal procedimento denominaremos *Bcromatico*(T).

4.3. Cálculo do índice

A obtenção do índice de um grafo G com n vértices envolve o cálculo de determinantes de ordem n e de raízes de polinômios de grau n , o que pode ser custoso computacionalmente. Como nosso propósito é executar vários testes a fim de verificar a afirmação $(*_1)$, o cálculo pela definição não é um caminho viável. Como só queremos verificar uma desigualdade utilizamos um método mais eficiente capaz de majorar os autovalores.

Em Jacobs et al. [2017] é proposto um algoritmo de localização de autovalores em cografos, cuja entrada é uma coárvore T na forma *standard*, isto é, coárvore estruturada de forma que todas as folhas estejam no último nível. O procedimento que transforma uma coárvore numa coárvore *standard* se baseia em inserir vértices intermediários que não alteram a estrutura do cografo, até que todas as folhas sejam postas no último nível. A seguir exibimos um exemplo da aplicação deste procedimento.

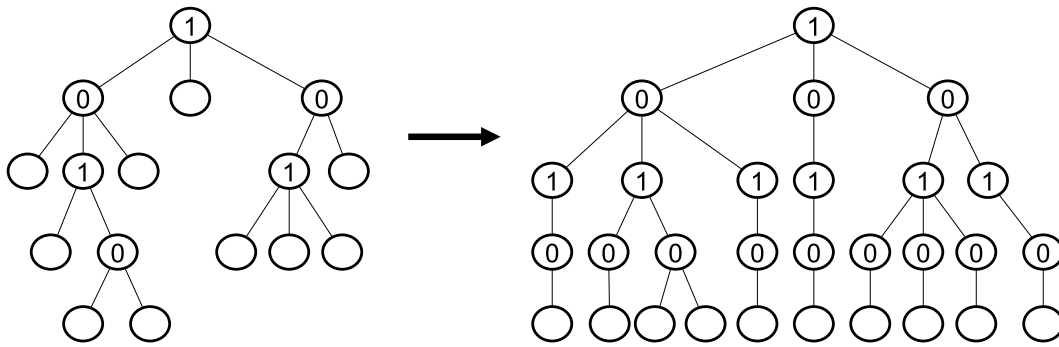


Figura 3: Coárvore T e sua versão *standard*

Exemplo 4.2.

A ideia do algoritmo proposto em Jacobs et al. [2017] é a seguinte: dada uma coárvore *standard* T e um valor real x , a cada folha v de T é associado um número $v.diag$, chamado valor diagonal, inicializado com x . Então são realizados dois tipos de operações: atualização dos valores $v.diag$ e remoção de adjacências em T , onde implicitamente tais processos são equivalentes a operações na matriz $M = A(G) + x.I$, onde I é a matriz identidade. Após a execução, cada vértice terá seu valor diagonal definitivo, o que equivale a M estar na sua forma diagonalizada, cujos autovalores são os elementos da diagonal, representado pelo campo $v.diag$. Então é garantido que:

- A quantidade de autovalores de $A(G)$ menores que $-x$ coincide com a quantidade de folhas com valor diagonal negativo.
- A quantidade de autovalores de $A(G)$ iguais a $-x$ coincide com a quantidade de folhas com valor diagonal nulo.
- A quantidade de autovalores de $A(G)$ maiores que $-x$ coincide com a quantidade de folhas com valor diagonal positivo.

Como o nosso objetivo é verificar a validade da afirmação $(*_1)$, ou seja, constatar se $\lambda(G)$ é maior que o parâmetro $\chi_b(G) - 1$, basta aplicar o valor $x = 1 - \chi_b(G)$ como entrada do procedimento e verificarmos se no final do processo existe algum vértice com valor diagonal positivo ou nulo. Em caso afirmativo, existe ao menos um autovalor maior ou igual a $-x$, portanto $\lambda(G) \geq -x$ confirmando a afirmação. Por outro lado, um contra exemplo para a afirmação é um cografo G que após a aplicação do procedimento com entrada x , todos os vértices possuem valor diagonal negativo, constatando que todos os autovalores, inclusive o índice, são menores que $-x$. Novamente vale ressaltar que para aplicar o algoritmo não é necessário em momento algum a estrutura do cografo, pois todas as operações são feitas sobre a coárvore.

A seguir escrevemos o procedimento proposto em Jacobs et al. [2017]. Antes observe que as n folhas da árvore estão localizadas no nível $m := nivel(T)$, as quais rotulamos em ordem decrescente de índice: $v_k, v_{k-1}, \dots, v_2, v_1$.



Algorithm 4.3 Jacobs et al. [2017] Algoritmo diagonalização

Input: Coárvore *standard* T e real x

Output: Cálculo do valor diagonal de cada vértice

```

1: procedure LocalizacaoAutovalores( $T, x$ )
2:   For each  $v$  folha de  $T$  do  $v_k.Diag \leftarrow x$ 
3:   for  $i \leftarrow m - 1$  to  $1$  do ▷ análise do nível  $i$ .
4:     while  $\exists v_k, v_l (k < l)$  onde  $nivel(lca(v_k, v_l)) = i$  do
5:        $\beta \leftarrow v_k.Diag$ 
6:        $\alpha \leftarrow v_l.Diag$ 
7:       if  $lca(v_k, v_l)$  é tipo  $-1$  then
8:         if  $\alpha + \beta \neq 2$  then
9:            $v_l.Diag \leftarrow \frac{\alpha\beta-1}{\alpha+\beta-2}$     $v_k.Diag \leftarrow \alpha + \beta - 2$ 
10:        else
11:          if  $\beta = 1$  then
12:             $v_l.Diag \leftarrow 1$     $v_k.Diag = 0$ 
13:          else
14:             $v_l.Diag \leftarrow 1$     $v_k.Diag = -(1 - \beta)^2$ 
15:            remova adjacências entre  $v_l$  e  $lca(v_k, v_l)$ 
16:          end if
17:        end if
18:        remova adjacências entre  $v_k$  e  $lca(v_k, v_l)$ 
19:      else
20:        if  $\alpha + \beta \neq 0$  then
21:           $v_l.Diag \leftarrow \frac{\alpha\beta}{\alpha+\beta}$     $v_k.Diag \leftarrow \alpha + \beta$ 
22:        else
23:          if  $\beta = 0$  then
24:             $v_l.Diag \leftarrow 0$     $v_k.Diag = 0$ 
25:          else
26:             $v_l.Diag \leftarrow \beta$     $v_k.Diag = -\beta$ 
27:            remova adjacências entre  $v_l$  e  $lca(v_k, v_l)$ 
28:          end if
29:        end if
30:        remova adjacências entre  $v_k$  e  $lca(v_k, v_l)$ 
31:      end if
32:    end while
33:  end for
34: end function

```

Mais detalhes sobre o funcionamento do algoritmo acima podem ser vistos em Jacobs et al. [2017].

Nosso interesse é verificar se o índice de um grafo é maior que um específico valor x dado como entrada, o que é feito pelo algoritmo abaixo.



Algorithm 4.4 Verifica se o índice é maior que x

Input: Coárvore T e escalar x

Output: Valor *booleano*

```
1: procedure IndiceMaiorQue( $T, x$ )
2:    $T \leftarrow \text{Standard}(T)$ 
3:    $\text{LocalizacaoAutovalores}(T, -x)$ 
4:   for all  $v$  folha de  $T$  do
5:     | se  $v.\text{Diag} \geq 0$  então return true
6:   end for
7:   return false
8: end function
```

4.4. Algoritmo Gerador de Cografos

Em Jones et al. [2016] é introduzida uma ordenação de vértices e coárvores para construir um algoritmo capaz de gerar todos os cografos (não isomorfos) com n vértices. Além disso a geração pode ser feita em todos os cografos ou em apenas os conexos (ou desconexos), onde a complexidade de tempo do atraso da geração é $O(n)$. Vale ressaltar que a geração é feita diretamente na coárvore do grafo, sem a necessidade da construção do cografo em si.

A construção dos cografos é feita basicamente da seguinte forma: o procedimento inicia na menor coárvore com n vértices e em seguida é gerada a árvore imediatamente maior que a antecessora, até alcançar a maior árvore do conjunto. Esse algoritmo da construção da árvore imediatamente maior será chamado *ArvoreSeguinte*(T). Mais detalhes podem encontrados em Jones et al. [2016].

5. Verificação da afirmação $(*_1)$

Munidos dos algoritmos descritos nas seções acima podemos construir um algoritmo capaz de verificar a desigualdade $(*_1)$ em cada cografo conexo com número fixado de vértices. O algoritmo abaixo descreve como é feita tal verificação:

Algorithm 5.5 Verificação da desigualdade $(*_1)$ com geração

Output: Grafo contraexemplo

```
1: procedure ValidacaoDesigualdadeBcromatico
2:    $n = 2$ 
3:   while true do
4:     Seja  $T$  a menor coárvore com  $n$  vértices
5:     repeat
6:       | se  $!(\text{IndiceMaiorQue}(T, \text{Bcromatico}(T) - 1))$  então stop;
7:        $T \leftarrow \text{ArvoreSeguinte}(T)$ 
8:     until  $T = \text{null}$ 
9:      $n \leftarrow n + 1$ 
10:  end while
11: end function
```

Todos os testes foram feitos através dos algoritmos descritos neste trabalho, implementados na linguagem $C\#$, onde foram executados numa máquina virtual fornecida pela plataforma *Google Cloud* numa máquina equipada com CPU Intel Sandy Bridge com clock 3.3 Ghz, 12GB de memória RAM e Windows 7 64 bits.

Na primeira busca o algoritmo encontrou um contra-exemplo para a desigualdade $(*_1)$: o cografo que denotaremos por G_a , ilustrado na Figura 4, possui as seguintes características: $|V| = 14$; $\lambda(G_a) \approx 6,9618$; $\chi_b(G) = m(G) = 8$; $\chi_b(G) - (\lambda(G) + 1) = 0,038$.

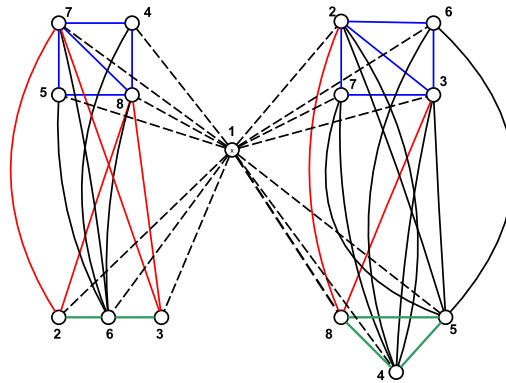


Figura 4: Contra-exemplo G_a

Então a afirmação $(*_1)$ proposta é falsa.

5.0.1. Formulação de uma nova afirmação

Com o contra-exemplo encontrado, observamos que G_a nega a desigualdade da afirmação por menos de um décimo, o que nos motiva a introdução de uma nova afirmação:

$$\text{Todo cografo conexo } G \text{ satisfaz } \chi_b(G) \leq \lceil \lambda(G) \rceil + 1 \quad (*_2),$$

onde usamos o parâmetro $\lceil \lambda(G) \rceil$ ao invés de $\lambda(G)$.

Nesta reformulação o grafo G_a não é mais um contra-exemplo.

Uma forma eficiente de calcular o teto do índice de um grafo é usar o algoritmo de diagonalização e fazer uso do seguinte teorema para otimizar o processo.

Teorema 5.1. *Cvetković e Rowlinson [1990] Todo grafo G satisfaz $\delta \leq \bar{d} \leq \lambda(G) \leq \Delta$, onde δ , \bar{d} e Δ são os graus mínimo, médio e máximo de G , nesta ordem.*

Algorithm 5.6 Cálculo do teto do índice

Input: Coárvore T do cografo G .

Output: Valor $\lceil \lambda(G) \rceil$.

```

1: procedure TetoDoIndice( $T$ )
2:   Seja  $k = \lceil \bar{d}(G) \rceil$ 
3:   while IndiceMaiorQue( $T, k$ ) do
4:     |  $k \leftarrow k + 1$ 
5:   end while
6:   return  $k$ 
7: end function

```

De forma semelhante ao feito no algoritmo, podemos efetuar procedimento semelhante para validar a afirmação $(*_2)$.

Antes de verificar a afirmação $(*_2)$, observamos que o parâmetro m-grau poderia assumir o papel do número b-cromático nesta afirmação, uma vez que como visto na Proposição 2.1, todo grafo G satisfaz a desigualdade $\chi_b(G) \leq m(G)$. Então propomos a seguinte relação para todo cografo conexo:

$$m(G) \leq \lceil \lambda(G) \rceil + 1 \quad (*_3)$$

Se a desigualdade $(*_3)$ for mantida, obteremos trivialmente a veracidade da afirmação $(*_2)$.

O parâmetro m-grau é mais simples de trabalhar, inclusive computacionalmente, uma vez que sua definição envolve apenas a sequência de graus do grafo.



Algorithm 5.7 Verificação das desigualdades $(*_2)$ e $(*_3)$

Output: Grafo contraexemplo

```

1: procedure ValidacaoDesigualdadeMgrau
2:    $n = 2$ 
3:   while true do
4:     Seja  $T$  a menor coárvore com  $n$  vértices
5:     repeat
6:       if  $Mgrau(T) > TetoDoIndice(T) + 1$  then
7:         if  $Bcromatico(T) > TetoDoIndice(T) + 1$  then stop
8:       end if
9:        $T \leftarrow ArvoreSeguinte(T)$ 
10:    until  $T = null$ 
11:     $n \leftarrow n + 1$ 
12:  end while
13: end function

```

E alguns contra-exemplos para a desigualdade $(*_3)$ foram encontrados. O primeiro foi o grafo $G_b := \overline{K_7} \vee (K_6 \cup \overline{K_6})$, que possui 19 vértices, cujas características são: $\lceil \lambda(G_b) \rceil = 11$; $m(G) = 13$; $\chi(G) = \chi_b(G) = 7$.

Como podemos gerar os cografos com número fixado de vértices, podemos naturalmente efetuar a contagem de quantos cografos existem. Após realizados os testes constatamos que a proporção de cografos que não satisfazem apenas a desigualdade $(*_3)$ é insignificante, isto é, aqueles cografos que acusaram **false** na linha (6) e **true** na linha (7), do Algoritmo 5.7. No final do texto segue a Tabela 1 com o número de cografos conexos existentes para cada número de vértices fixado, o número de cografos que não stisfazem apenas $(*_3)$, a proporção e o tempo de execução do programa.

Em contra-partida, executamos a validação da afirmação $(*_2)$ e obtivemos ótimos resultados: não foi encontrado nenhum contra-exemplo para esta desigualdade dentre todos os cografos conexos até 21 vértices, contabilizando mais de 1 bilhão de grafos. Vale observar que devido à enorme quantidade de cografos existentes, o programa se manteve em execução por 14 dias. Então segue o resultado cuja demonstração foi feita computacionalmente.

Proposição 5.1. *Todos os cografos conexos de até 21 vértices satisfazem $\chi_b(G) \leq \lceil \lambda(G) \rceil + 1$.*

E propomos a seguinte conjectura:

CONJECTURA 5.1. *Todo cografo conexo G satisfaz $\chi_b(G) \leq \lceil \lambda(G) \rceil + 1$.*

Observe que esta é uma cota razoável, uma vez que a igualdade vale para o grafo completo, enquanto pode se afastar em alguns casos, como no exemplo do cografo esboçado abaixo, que possui número b-cromático 3 e índice aproximadamente 4,9.

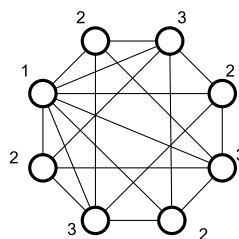


Figura 5: cografo G



Vértices	Qtd. cografos conexos	Não vale desigualdade (* ₃)	proporção	Tempo
2	1	0	0 %	< 0,1s
3	2	0	0 %	< 1s
4	5	0	0 %	< 1s
5	12	0	0 %	< 1s
6	33	0	0 %	< 1s
7	90	0	0 %	< 1s
8	261	0	0 %	< 1s
9	766	0	0 %	< 1s
10	2312	0	0 %	< 1s
11	7068	0	0 %	< 1s
12	21965	0	0 %	< 1min
13	68954	0	0 %	< 1min
14	218751	0	0 %	< 1min
15	699534	0	0 %	13 min
16	2253676	0	0 %	50 min
17	7305788	0	0 %	3h
18	23816743	0	0 %	9h
19	78023602	3	$3,845 \times 10^{-8}$ %	30h
20	256738751	21	$8,179 \times 10^{-8}$ %	3 dias
21	848152864	88	$1,037 \times 10^{-7}$ %	9 dias

Tabela 1: Geração de cografos e verificação da desigualdade (*₃)

Referências

- Alkhateeb, M. e Kohl, A. (2011). Upper bounds on the b-chromatic number and results for restricted graph classes. *Discussiones Mathematicae Graph Theory*, 31(4):709–735.
- Bonomo, F., Duran, G., Maffray, F., Marenco, J., e Valencia-Pabon, M. (2009). On the b-coloring of cographs and p4-sparse graphs. *Graphs and Combinatorics*, 25(2):153–167.
- Corneil, D. G., Lerchs, H., e Burlingham, L. S. (1981). Complement reducible graphs. *Discrete Applied Mathematics*, 3(3):163–174.
- Corneil, D., Perl, Y., e Stewart, L. (1984). Cographs: recognition, applications and algorithms. *Congressus Numer*, 43:249–258.
- Cvetkovic, D. (1972). Chromatic number and the spectrum of a graph. *Publ. Inst. Math.(Beograd)*, 14(28):25–38.
- Cvetković, D. e Rowlinson, P. (1990). The largest eigenvalue of a graph: A survey. *Linear and multilinear algebra*, 28(1-2):3–33.
- Irving, R. W. e Manlove, D. F. (1999). The b-chromatic number of a graph. *Discrete Applied Mathematics*, 91(1):127–141.
- Jacobs, D. P., Trevisan, V., e Tura, F. C. (2017). Eigenvalue location in cographs. *Discrete Applied Mathematics*.
- Jones, A. A., Protti, F., e Del-Vecchio, R. R. (2016). Gerador de cografos com atraso linear. In *Anais do XLVII Simpósio Brasileiro de Pesquisa Operacional, Vitória - ES*, p. 3123–3134.
- Kouider, M. e Mahéo, M. (2002). Some bounds for the b-chromatic number of a graph. *Discrete Mathematics*, 256(1):267–277.
- Wilf, H. S. (1967). The eigenvalues of a graph and its chromatic number. *J. London Math. Soc*, 42 (1967):330.